

MODELOS DE OTIMIZAÇÃO DE REDES DE FILAS ABERTAS PARA PROJETO E PLANEJAMENTO DE *JOB-SHOPS*

Gabriel R. Bitran

M.I.T.

Reinaldo Morábito

UFSCar

Resumo

Neste artigo examinamos modelos de otimização baseados na teoria de redes de filas abertas para o projeto e planejamento de sistemas de manufatura discretos, como *job-shops*. Duas categorias de problemas são consideradas: A primeira minimiza o investimento de capital de maneira a atingir uma medida de desempenho (estoque em processo, *leadtime* de produtos), a segunda tenta otimizar a medida de desempenho sujeito às restrições de disponibilidade de recursos. Diversas abordagens de solução conhecidas da literatura são apresentadas e analisadas. A metodologia é ilustrada com um exemplo de uma rede *job-shop* derivado de uma aplicação numa indústria de semicondutores.

Palavras-chave: rede de filas aberta; otimização e avaliação de desempenho; projeto e planejamento de *job-shop*; sistemas de manufatura discretos.

Abstract

In this paper we review optimization models based on open queueing networks for the design and planning of discrete manufacturing systems, such as *job-shops*. We consider two categories of problems: The first minimizes capital investment subject to attaining a performance measure (work-in-process, product leadtime), the second seeks to optimize the performance measure subject to resource constraints. Different solution approaches known in the literature are presented and analyzed. The methodology is illustrated with a *job-shop* example derived from an actual application in the semiconductor industry.

Keywords: open queueing networks; optimization and performance evaluation; *job-shop* design and planning; discrete manufacturing systems.

1. Introdução

Job-shops são complexos sistemas discretos de manufatura que processam uma grande variedade de produtos ou *jobs* em pequenos lotes. Tipicamente os *jobs* percorrem fluxos complexos ao longo das estações de trabalho (*shops*) e formam filas de espera defronte as máquinas. Neste artigo analisamos alguns modelos de otimização, baseados na teoria de *redes de filas abertas (open queueing networks)*, para o projeto e planejamento de sistemas *job-shops*. Exemplos das decisões envolvidas são: seleção de produtos e tecnologia, escolha de equipamentos e capacidade, e alocação de produtos a plantas.

Para o propósito do artigo, agrupamos os problemas em apenas duas classes propostas em Bitran e Dasu (1992): *desempenho desejado do sistema* (SP1 - *Strategic problem 1*) e *desempenho ótimo do sistema* (SP2). Uma discussão de outras classes (p.e., *partição da instalação* - SP3) pode ser encontrada em Bitran e Dasu (1992) e Bitran e Morábito (1994).

Na classe SP1 o objetivo é minimizar o investimento no sistema sujeito às restrições dos desempenhos desejados do sistema. Típicas medidas de desempenho são: *estoque em processo (work in process - WIP)*, *leadtime* de produtos (tempo total para fabricar ou montar o produto), taxa de produção, utilização de equipamentos. Nos problemas a seguir escolhemos o WIP como medida de desempenho; outras medidas poderiam ter sido escolhidas. Considere o seguinte exemplo da classe SP1:

(SP1.1) *WIP desejado*:

- *Objetivo*: minimizar o custo de aquisição de equipamentos
- *Variáveis de decisão*: capacidade de cada estação, tecnologia
- *Restrições*: limitante superior para o nível de WIP.

Na classe SP2, desejamos otimizar o desempenho do sistema sujeito às limitações de capital para investimento no sistema. Um exemplo da classe SP2 é dado abaixo:

(SP2.1) *WIP ótimo*:

- *Objetivo*: minimizar o nível de WIP
- *Variáveis de decisão*: capacidade de cada estação, tecnologia
- *Restrições*: limitante superior para o custo de aquisição de equipamentos.

Note que SP1.1 e SP2.1 envolvem um *tradeoff* entre o capital de investimento e o capital de trabalho. Neste artigo revemos modelos de otimização e abordagens de solução para problemas do tipo SP1.1 e SP2.1, utilizando teoria de rede de filas. Alguns dos algoritmos aqui analisados (algoritmos 1, 2 e 3 da seção 5.1) são refinamentos daqueles examinados em Bitran e Morábito (1994, 1995b). Na seção 2, discutimos brevemente como representar o sistema *job-shop* por meio de uma rede de filas e avaliar suas medidas de desempenho. Na seção 3, definimos modelos de otimização genéricos para SP1.1 e SP2.1 e nas seções 4 e 5, estes modelos são analisados para as redes de Jackson e redes de Jackson generalizadas, respectivamente. Para ilustrar, apresentamos alguns resultados computacionais de um exemplo de rede *job-shop* de uma fábrica de semicondutores. Finalmente, na seção 6 apresentamos as conclusões do artigo.

2. Avaliação de medidas de desempenho do sistema *job-shop*

O sistema *job-shop* pode ser representado como uma rede de filas *aberta*, onde os nós correspondem às estações de trabalho (*shops*), e os arcos ligando os nós, aos fluxos de *jobs* entre as estações. A rede de filas é aberta porque os *jobs* chegam na rede, recebem processamento em uma ou mais estações, e eventualmente saem da rede. Se os processos de chegada e processamento (serviço) de *jobs* nas estações forem assumidos estocásticos, filas de *jobs* são esperadas defronte às estações.

Em geral os modelos consideram que o sistema esteja em estado de *equilíbrio* (*steady-state*). Os *jobs* podem chegar nas estações individualmente ou em lotes. Eles podem pertencer a uma ou múltiplas classes (famílias) de produtos, e percorrer roteiros determinísticos ou probabilísticos ao longo das estações. Esses roteiros ainda podem ser cíclicos ou acíclicos. Cada estação pode ter uma ou várias máquinas, que processam *jobs* individualmente ou em lotes. As filas de espera podem ter capacidade limitada ou ilimitada, com diversas disciplinas de atendimento possíveis, por exemplo, *first-come first-served* (FCFS), *shortest-processing-time-first* (SPT).

Se os processos de chegada e serviço em cada estação forem Markovianos, então a rede de filas é chamada *rede de Jackson* (i.e., rede de filas M/M/m); caso contrário, *rede de Jackson generalizada* (rede de filas GI/G/m). Redes de Jackson possuem soluções exatas em forma de produto que simplificam bastante sua análise. Por outro lado, redes de Jackson generalizadas são bem mais difíceis de serem analisadas, o que têm motivado diversos autores para o desenvolvimento de métodos aproximados para avaliar suas medidas de desempenho. Um exemplo é o chamado *método de decomposição* (Whitt, 1983).

Por ilustração, a seguir apresentamos resumidamente como utilizar o método de decomposição para avaliar o nível de WIP de redes de Jackson generalizadas com múltiplas classes, roteiros determinísticos (cíclicos ou acíclicos), uma máquina em cada estação, filas de espera ilimitadas, e disciplina FCFS. Assumimos que os *jobs* chegam e são processados individualmente nas estações. Este método também pode ser aplicado em redes com roteiros probabilísticos, múltiplas máquinas em cada estação, chegada e processamento em lote, combinação e criação de *jobs* nas estações, e outras disciplinas além de FCFS. Para maiores detalhes, veja por exemplo Segal e Whitt (1989), Bitran e Tirupati (1991), Kouvelis e Tirupati (1991), e Buzacott e Shanthikumar (1993).

2.1 Método de decomposição

O método de decomposição envolve basicamente três passos: no passo 1 a rede é decomposta num conjunto de estações independentes, no passo 2 as medidas de desempenho (no caso, o WIP) são avaliadas para cada estação, analisada como um sistema de filas individual, e no passo 3 as medidas de desempenho são avaliadas para a rede, combinando os resultados do passo 2.

O método assume que tanto os intervalos de tempo entre chegadas quanto os tempos de processamento dos *jobs* nas estações são variáveis aleatórias *independentes e identicamente distribuídas*; além disso, suas distribuições são aproximadas por apenas dois parâmetros: a média e o *coeficiente quadrático de variação* (*squared coefficient of variation - scv*), que é um parâmetro de variabilidade definido pela razão entre a variância e o quadrado da média. Considere a seguinte notação para os dados de entrada:

| | |
|--------------|---|
| r | número de classes de produtos na rede |
| n | número de estações da rede |
| n_k | número de operações do roteiro da classe k ($k=1,\dots,r$) |
| λ'_k | taxa média de chegada externa de produtos da classe k |
| ca'_k | scv do intervalo de tempo entre chegadas externas de produtos da classe k |
| n_{kl} | estação que processa a l -ésima operação do roteiro da classe k ($l=1,\dots,n_k$) |
| m_j | número de máquinas na estação j (no caso, $m_j=1, j=1,\dots,n$) |
| μ_j | taxa média de processamento de cada máquina da estação j |
| cs_j | scv do tempo de processamento da estação j |
| a_j, b_j | coeficientes de custo de capacidade da estação j |
| v_j | valor monetário médio de um <i>job</i> na estação j , independente de sua classe. |

As tabelas 1 e 2 apresentam estes parâmetros para o exemplo de uma rede *job-shop* com $r=10$ classes de produtos e $n=13$ estações. Este é um exemplo real de uma fábrica de semicondutores, analisada em Bitran e Tirupati (1989a) e Bitran e Morábito (1995c). A figura 1 ilustra o roteiro de cada classe (coluna n_{kl} da tabela 1) ao longo das estações. Note que para produzir uma unidade do produto da classe 1, um *job* entra na rede e visita primeiro a estação 1, em seguida as estações 2, 4, 2, 9 e 10, e finalmente a estação 11, para depois sair da rede (este roteiro está indicado na figura 1a). Em cada uma destas $n_1=7$ visitas (i.e. roteiro da classe 1), o *job* recebe uma operação diferente. A última linha da tabela 1 apresenta a taxa média de produção da rede, igual a 10 unidades de produtos por unidade de tempo.

Por simplicidade, consideramos cada estação j como uma única máquina (i.e., $m_j=1$), com *capacidade* ou taxa média de processamento μ_j (a extensão para o caso com $m_j \geq 1$ é simples). Também consideramos que essa taxa média de processamento independe da classe do produto e da operação. Caso contrário, as taxas médias de processamento para cada classe k e cada operação l na estação j podem ser combinadas para aproximar a *taxa agregada média* μ_j , conforme seção 5.3 em Bitran e Morábito (1995a). Convém observar que, em redes onde *jobs* de uma mesma classe k visitam várias vezes uma estação j , se em cada visita eles recebem uma operação l diferente (i.e. as taxas médias μ_{kl} na estação j variam com a operação l), então a rede sob certas condições pode resultar instável, mesmo que os processos de chegada e processamento sejam Markovianos, a disciplina seja FCFS, e as utilizações médias sejam menores do que 1 (veja a discussão em Bramson (1994) sobre uma rede de classe única com roteiro 1, 2, 2, ..., 2, 1).

Tabela 1: Dados de entrada das classes de produtos da rede *job-shop*

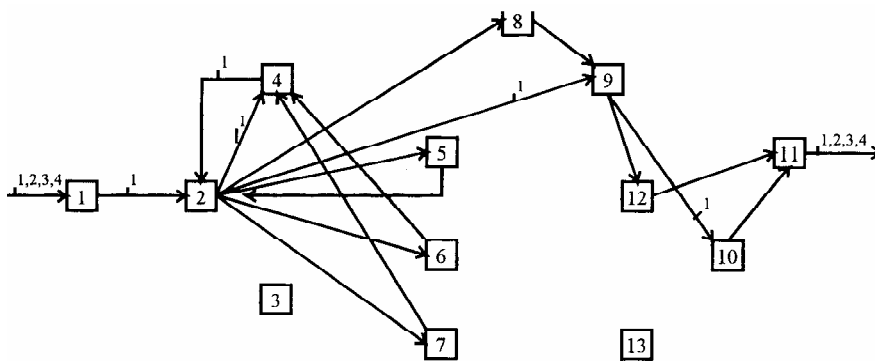
| Classe k | λ'_k | ca'_k | n_{kl} | n_k |
|--------------|--------------|---------|--|-----------|
| 1 | 1.0 | 0.500 | 1, 2, 4, 2, 9, 10, 11 | 7 |
| 2 | 1.0 | 0.500 | 1, 2, 5, 2, 8, 9, 10, 11 | 8 |
| 3 | 1.0 | 0.333 | 1, 2, 6, 4, 2, 9, 12, 11 | 8 |
| 4 | 1.0 | 0.333 | 1, 2, 7, 4, 2, 9, 10, 11 | 8 |
| 5 | 1.0 | 0.333 | 1, 2, 4, 12, 2, 9, 2, 13 | 8 |
| 6 | 1.0 | 0.333 | 1, 2, 5, 12, 2, 9, 7, 13 | 8 |
| 7 | 1.0 | 0.250 | 1, 2, 6, 12, 2, 8, 2, 13 | 8 |
| 8 | 1.0 | 1.000 | 1, 2, 3, 7, 4, 12, 2, 8, 6, 9, 2, 13 | 12 |
| 9 | 1.0 | 1.000 | 1, 2, 3, 5, 4, 6, 12, 2, 8, 2, 10, 6, 13 | 13 |
| 10 | 1.0 | 0.333 | 1, 2, 3, 6, 2, 4, 12, 7, 2, 9, 11, 5, 13 | 13 |
| Total | 10.0 | | | 93 |

Tabela 2: Dados de entrada das estações da rede *job-shop*

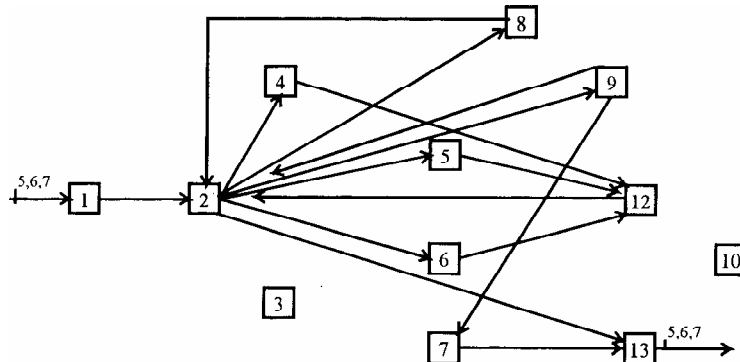
| Estação j | μ_j | cs_j | v_j | a_j | b_j |
|--------------|----------------|--------|-------|-------|---------|
| 1 | 13.004 | 0.500 | 100 | 5.68 | -51.69 |
| 2 | 27.778 | 0.250 | 1612 | 2.59 | -50.40 |
| 3 | 3.160 | 0.333 | 733 | 74.77 | -165.40 |
| 4 | 10.000 | 0.500 | 1052 | 6.93 | -48.53 |
| 5 | 5.631 | 0.333 | 912 | 12.62 | -49.73 |
| 6 | 9.225 | 0.250 | 1683 | 7.51 | -48.54 |
| 7 | 5.999 | 1.000 | 1662 | 11.11 | -46.67 |
| 8 | 4.500 | 0.333 | 1812 | 27.66 | -87.11 |
| 9 | 10.000 | 0.333 | 1730 | 7.47 | -52.27 |
| 10 | 5.711 | 0.333 | 1600 | 15.34 | -61.30 |
| 11 | 5.441 | 0.333 | 1882 | 27.03 | -102.94 |
| 12 | 7.440 | 0.500 | 1486 | 13.01 | -67.74 |
| 13 | 7.502 | 0.500 | 3250 | 14.22 | -74.67 |
| Total | 115.391 | | | | |

Figura 1: Roteiros de cada uma das 10 classes ao longo das 13 estações da *redejob-shop*.

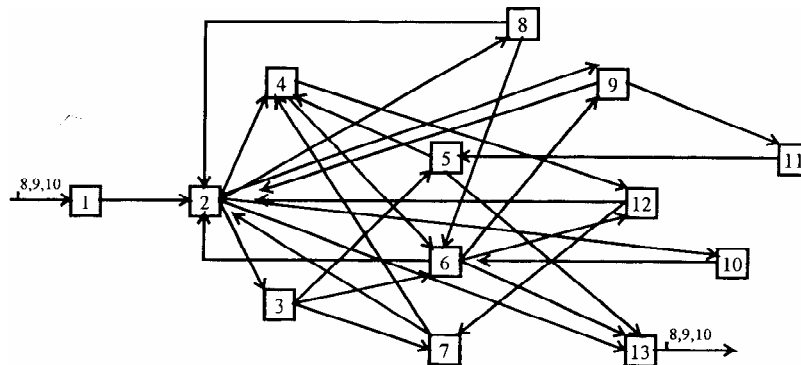
(a) Classes 1, 2, 3 e 4



(b) Classes 5, 6 e 7



(c) Classes 8, 9 e 10



No passo 1, a rede de filas original é decomposta num conjunto de filas “independentes”, correspondendo às estações. O objetivo é rescrever os parâmetros iniciais $\{\lambda'_k, ca'_k, n_{kl}, k=1, \dots, r; l=1, \dots, n_k; \mu_j, cs_j, j=1, \dots, n\}$ como $\{\lambda_j, ca_j, \mu_j, cs_j, j=1, \dots, n\}$, onde λ_j e ca_j agora denotam, respectivamente, a taxa média de chegada e o scv do intervalo de tempo entre chegadas de produtos na estação j . Note que desta forma estamos agregando todos os produtos em uma única classe, denominada *classe agregada*, e analisando seu fluxo ao longo da rede.

Cada parâmetro λ_j é obtido somando-se as taxas médias de chegada externa de todas as classes que visitam a estação j , ponderadas pelo número de visitas definido nos seus roteiros (p.e., note na tabela 1 que o roteiro da classe 10 faz três visitas na estação 2), ou seja:

$$\lambda_j = \sum_{k=1, \dots, r} \lambda'_k \sum_{l=1, \dots, n_k} \delta(n_{kl}=j)$$

onde $\delta(n_{kl}=j)=1$, se $n_{kl}=j$, e $\delta(n_{kl}=j)=0$, caso contrário.

Os parâmetros ca_j são aproximadamente estimados pela solução de um sistema linear nas variáveis ca_j, cd_j e $cd_{k,l}$, definido por (Bitran e Tirupati, 1988):

$$\begin{aligned} ca_j &= \sum_{k=1, \dots, r} (\lambda'_k / \lambda_j) \sum_{l=1, \dots, n_k} cd_{k,l-1} \delta(n_{kl}=j) \quad \text{para } j=1, \dots, n \\ cd_j &= (\lambda_j / \mu_j)^2 cs_j + [1 - (\lambda_j / \mu_j)^2] ca_j \quad \text{para } j=1, \dots, n \\ cd_{k,l} &= (\lambda'_k / \lambda_j) cd_{n_{kl}} + [1 - (\lambda'_k / \lambda_j)] (\lambda'_k / \lambda_j) + [1 - (\lambda'_k / \lambda_j)]^2 cd_{k,l-1} \\ &\quad \text{para } k=1, \dots, r; l=1, \dots, n_k. \end{aligned}$$

onde $cd_{k,0}=ca'_k$, e cd_j (ou $cd_{n_{kl}}$ com $n_{kl}=j$) e $cd_{k,l}$ são variáveis implícitas. A tabela 3 apresenta os parâmetros λ_j e ca_j obtidos para o exemplo das tabelas 1 e 2 (as demais colunas da tabela 3 estão definidas a seguir).

Tabela 3: Parâmetros e medidas de desempenho obtidos para o exemplo das tabelas 1 e 2

| Estação j | λ_j | ca_j | ρ_j | L_j | $v_j L_j$ | F_j |
|--------------|-------------|--------|----------|---------------|------------------|-----------------|
| 1 | 10.0 | 0.492 | 0.769 | 1.974 | 197.377 | 288.325 |
| 2 | 25.0 | 0.601 | 0.900 | 4.298 | 6929.058 | 598.457 |
| 3 | 3.0 | 0.760 | 0.949 | 10.694 | 7838.522 | 223.823 |
| 4 | 7.0 | 0.608 | 0.700 | 1.569 | 1650.825 | 207.700 |
| 5 | 4.0 | 0.613 | 0.710 | 1.500 | 1367.930 | 120.093 |
| 6 | 6.0 | 0.583 | 0.650 | 1.118 | 1881.392 | 191.332 |
| 7 | 4.0 | 0.619 | 0.667 | 1.715 | 2850.717 | 119.836 |
| 8 | 4.0 | 0.665 | 0.889 | 4.403 | 7979.090 | 168.193 |
| 9 | 8.0 | 0.642 | 0.800 | 2.327 | 4025.622 | 224.300 |
| 10 | 4.0 | 0.662 | 0.700 | 1.489 | 2382.308 | 150.240 |
| 11 | 5.0 | 0.684 | 0.919 | 6.194 | 11656.346 | 240.055 |
| 12 | 7.0 | 0.614 | 0.941 | 9.226 | 13709.098 | 216.225 |
| 13 | 6.0 | 0.677 | 0.800 | 2.653 | 8620.970 | 240.110 |
| Total | | | | 49.160 | 71089.253 | 2988.689 |

No passo 2, medidas de desempenho da classe agregada em cada estação podem ser estimadas, tais como utilização da capacidade, número médio de *jobs* na estação, WIP. Por exemplo, a utilização média na estação j, definida por $\rho_j = \lambda_j / \mu_j$, pode ser facilmente calculada com λ_j e μ_j . Também podemos calcular o WIP (em valores monetários) na estação j, definido por $v_j L_j(\lambda_j, ca_j, \mu_j, cs_j)$, onde $L_j(\lambda_j, ca_j, \mu_j, cs_j)$ é o número médio de *jobs* em fila e em serviço na estação j, como uma função das médias e dos scv do tempo entre chegadas e do tempo de processamento da classe agregada na estação j. Este número pode ser aproximadamente calculado por (Whitt, 1983):

$$L_j(\lambda_j, ca_j, \mu_j, cs_j) = \{(\lambda_j / \mu_j)^2 (ca_j + cs_j) g(\lambda_j, ca_j, \mu_j, cs_j) / 2[1 - (\lambda_j / \mu_j)]\} + (\lambda_j / \mu_j) \quad (1)$$

com:

$$g(\lambda_j, ca_j, \mu_j, cs_j) = \begin{cases} \exp\{-2[1 - (\lambda_j / \mu_j)](1 - ca_j)^2 / 3(\lambda_j / \mu_j)(ca_j + cs_j)\}, & \text{se } ca_j < 1, \\ 1, & \text{se } ca_j \geq 1 \end{cases}$$

Também podemos definir o custo de alocar a capacidade μ_j na estação j (investimento em capacidade) pela função quadrática:

$$F_j(\mu_j) = a_j \mu_j^2 + b_j \mu_j + c_j \quad (2)$$

onde a_j , b_j e c_j são coeficientes conhecidos. Por conveniência, assumimos que é possível adicionar capacidade na estação j em quantidades pequenas o suficiente para considerar a capacidade j *contínua*.

A tabela 3 apresenta os valores da utilização média (ρ_j), do número médio de *jobs* (L_j), do WIP ($v_j L_j$), e do custo de capacidade (F_j) de cada estação j da rede *job-shop* das tabelas 1 e 2 (por simplicidade, assumimos $c_j = 0$).

Finalmente, no passo 3, medidas de desempenho são avaliadas para a rede como um todo, recompondo-se os resultados do passo 2. Por exemplo, somando-se o WIP de todas as estações, obtemos o WIP da rede $\sum_{j=1, \dots, n} v_j L_j$, com valor 71089 (tabela 3). Note que este valor refere-se a classe agregada; ao desagregarmos estes resultados, obtemos o WIP para cada classe original.

Para maiores detalhes do método de decomposição, veja por exemplo Whitt (1983), Kouvelis e Tirupati (1991), Suri et al (1993) e Bitran e Morábito (1994, 1995a).

3. Modelos de Otimização para SP1.1 e SP2.1

Nesta seção apresentamos dois modelos de otimização genéricos para os problemas SP1.1 e SP2.1 da seção 1. Considere a seguinte notação (assumimos que as classes de produtos são agregadas conforme método de decomposição discutido na seção 2):

| | |
|--|--|
| $F_j(\mu_j, m_j)$ | custo (ou investimento) de alocar a capacidade (j, m_j) na estação j |
| F_T | orçamento disponível para a capacidade da rede |
| $L_j(\mu_1, m_1; 2, m_2; \dots; \mu_n, m_n)$ | o número médio de <i>jobs</i> na estação j , como uma função da capacidade da rede |
| W_T | limitante superior para o WIP da rede. |

O problema de WIP desejado SP1.1 é o problema de determinar a capacidade (μ_j, m_j) para cada estação j de maneira a minimizar o custo e satisfazer a restrição do nível desejado de WIP na rede, W_T . SP1.1 é formulado como:

$$\begin{aligned}
 \text{(SP1.1) minimizar} & \quad \sum_{j=1, \dots, n} F_j(\mu_j, m_j) \\
 \text{sujeito a:} & \quad \sum_{j=1, \dots, n} v_j L_j(\mu_1, m_1; 2, m_2; \dots; \mu_n, m_n) \leq W_T \\
 \text{com:} & \quad (\mu_j, m_j) \in P_j, \quad j=1, \dots, n
 \end{aligned}$$

onde P_j é um dado domínio das variáveis, e $L_j(\mu_1, m_1; 2, m_2; \dots; \mu_n, m_n)$ deriva da teoria de rede de filas (compare com a expressão (1)).

Similarmente, o problema de WIP ótimo SP2.1 é o problema de determinar a capacidade (μ_j, m_j) para cada estação j de maneira a minimizar o WIP da rede e satisfazer a restrição do orçamento disponível, F_T . SP2.1 é formulado como:

$$\begin{aligned}
 \text{(SP2.1) minimizar} & \quad \sum_{j=1, \dots, n} v_j L_j(\mu_1, m_1; 2, m_2; \dots; \mu_n, m_n) \\
 \text{sujeito a:} & \quad \sum_{j=1, \dots, n} F_j(\mu_j, m_j) = F_T \\
 \text{com:} & \quad (\mu_j, m_j) \in P_j, \quad j=1, \dots, n.
 \end{aligned}$$

onde $F_j(\mu_j, m_j)$ é uma função conhecida, conforme a expressão (2).

Diversos autores apresentaram abordagens para os dois modelos acima; a seguir revemos algumas delas. Com a finalidade de apresentá-las de uma forma mais estruturada, adotaremos a notação sugerida em Bitran e Dasu (1992) que denota cada instância do problema por $\alpha/\beta/\chi/\delta$, onde $\alpha \in \{\text{SP1.1,}$

SP2.1}, $\beta \in \{J, G\}$, $\chi \in \{S, M\}$ e $\delta \in \{R, N\}$. O símbolo α indica o tipo de problema, β indica se o problema é aplicado a uma rede de Jackson (J) ou a uma rede de Jackson generalizada (G), χ indica se as estações têm uma única máquina (S) ou podem ter múltiplas máquinas (M), e δ indica a variável de decisão do modelo: taxa média de processamento (R) ou número de máquinas (N) em cada estação.

Por conveniência, nos modelos *./././R* a seguir, assumimos que toda capacidade na rede seja *homogênea* e *intercambiável* entre as estações. Um exemplo é a mão-de-obra treinada que pode ser transferida de uma estação para outra. Os algoritmos apresentados a seguir também podem ser aplicados quando a capacidade de uma estação não é transferível para todas as outras (Bitran e Morábito, 1995c).

4. Redes de Jackson (Modelos *./J./.*)

Nas redes de Jackson, ao contrário das redes de Jackson generalizadas, pode ser mostrado que cada estação j pode ser tratada como se fosse um sistema de fila “estocasticamente independente” (Buzacott e Shanthikumar, 1993; Suri et al., 1993). Dessa maneira, $L_j(\mu_1, m_1; \mu_2, m_2; \dots; \mu_n, m_n)$ em SP1.1 e SP2.1 reduz-se a uma função apenas de μ_j e m_j , ao invés de uma função de $\mu_1, m_1; \mu_2, m_2; \dots; \mu_n, m_n$.

4.1 Modelos *./J./R*

Kleinrock (1964, 1976) estudou o problema de minimizar o número médio de *jobs* em redes de Jackson com uma máquina em cada estação (i.e. $m_j=1$). As variáveis de decisão são as taxas de serviço $\mu_j, j=1, \dots, n$. Kleinrock mostrou que $L_j(\mu_j) = \lambda_j / (\mu_j - \lambda_j)$ e assumiu que o custo F_j seja proporcional a μ_j (i.e. $F_j(\mu_j) = f_j \mu_j$, onde f_j é o custo unitário da capacidade na estação j). Ele propôs o seguinte modelo para SP2.1/J/S/R (compare com SP2.1 da seção 3):

$$\begin{array}{ll} \text{(SP2.1/J/S/R)} & \text{minimizar} & \sum_{j=1, \dots, n} L_j(\mu_j) \\ & \text{sujeito a:} & \sum_{j=1, \dots, n} f_j \mu_j = F_T \\ & \text{com:} & \mu_j \geq 0, \quad j=1, \dots, n \end{array}$$

Introduzindo o multiplicador de Lagrange y associado à restrição de igualdade em SP2.1/J/S/R, a função lagrangeana resulta em:

$$\sum_{j=1, \dots, n} L_j(\mu_j) + y (\sum_{j=1, \dots, n} f_j \mu_j - F_T).$$

Ao derivar esta função em relação à cada j , a solução ótima de SP2.1/J/S/R é obtida em forma fechada, dada por:

$$\mu_j^* = \lambda_j + [(f_j \lambda_j) / \sum_{i=1, \dots, n} \sqrt{(f_i \lambda_i)}] [(F_T - \sum_{i=1, \dots, n} f_i \lambda_i) / f_j].$$

Cinco condições são satisfeitas no modelo SP2.1/J/S/R (Bitran e Dasu, 1992):

- (i) $L_j(\mu_j)$ é uma função convexa de μ_j (o número médio de *jobs* na estação j é uma função convexa da capacidade da estação j),
- (ii) $L_j(\mu_j)$ não depende de μ_i , $i \neq j$, $i=1, \dots, n$ (adições de capacidade em outras estações têm nenhum efeito no número médio de *jobs* da estação j),
- (iii) μ_j é contínuo (as variáveis de decisão são variáveis contínuas),
- (iv) $F_j(\mu_j)$ é uma função convexa de μ_j (o custo de capacidade da estação j é uma função convexa da capacidade da estação j),
- (v) $L_j(\mu_j)$ pode ser expresso em forma fechada.

Estas condições serão úteis para analisar os demais modelos deste artigo. As condições (i)-(iv) reduzem o modelo num programa convexo, que pode ser resolvido otimamente via métodos exatos de ótimo-local (p.e., Bazaraa et al., 1993). A condição (v) permite que a solução do problema seja em forma fechada.

Podemos formular SP2.1/J/M/R exatamente como SP2.1/J/S/R; Harel e Zipkin (1987) mostraram que $L_j(j)$ também é uma função convexa de j para $m_j > 1$. Assim, as condições (i)-(iv) são satisfeitas e SP2.1/J/M/R também é um programa convexo. SP1.1/J/S/R e SP1.1/J/M/R podem ser definidos e analisados de maneira similar.

4.2 Modelos .J/.N

As variáveis de decisão agora são inteiras e correspondem ao número de máquinas m_j , $j=1, \dots, n$, em cada estação. Assim como nos modelos .J/.R (seção 4.1), também pode ser mostrado nos modelos .J/.N que $L_j(m_j)$ é uma função convexa e decrescente em m_j , independente de m_i , $i \neq j$, $i=1, \dots, n$ (condições (i) e (ii) satisfeitas).

Em SP1.1/J/M/N, desejamos encontrar a solução de custo mínimo satisfazendo um nível de WIP menor ou igual a um limite especificado W_T (veja SP1.1 na seção 3). Boxma et al. (1990) assumiram que $F_j(m_j)$, o custo de alocar m_j máquinas na estação j , seja uma função convexa não-decrescente de m_j (condição (iv) satisfeita), e modelaram este problema de WIP desejado (também chamado *problema de alocação de servidores*) como:

$$\begin{array}{ll}
 \text{(SP1.1/J/M/N) minimizar} & \sum_{j=1, \dots, n} F_j(m_j) \\
 \text{sujeito a:} & \sum_{j=1, \dots, n} v_j L_j(m_j) \leq W_T \\
 \text{com:} & m_j \geq \lceil \lambda_j / \mu_j \rceil, \quad m_j \text{ inteiro, } j=1, \dots, n.
 \end{array}$$

(onde $\lceil z \rceil$ denota o menor inteiro maior ou igual a z). Note que SP1.1/J/M/N é um programa convexo, porém com variáveis inteiras (condição (iii) violada). Boxma et al. propuseram um simples algoritmo iterativo guloso (heurístico) para resolver SP1.1/J/M/N, e apresentaram limitantes para o erro da solução (veja também a abordagem em Sundarraj et al (1994) para um problema similar). O algoritmo começa com a menor alocação possível de máquinas para cada estação. Em cada iteração, ele adiciona uma máquina na estação com mínimo *índice de prioridade*, definido por meio

de *análise marginal* como o quociente entre o aumento de custo e a redução de WIP na estação. O algoritmo termina assim que a adição de uma máquina resultar numa alocação viável. Experimentos computacionais resultaram em erros relativos em torno de 5%.

Mais recentemente, Frenk et al. (1994) apresentaram 2 algoritmos para resolver SP1.1/J/M/N, que podem ser vistos como extensões do algoritmo de Boxma et al. (1990). Estes algoritmos produzem soluções melhores do que o de Boxma et al., porém, com um esforço computacional maior (eles têm complexidade $O(Mn^2)$ e $O(Mn^3)$, respectivamente, enquanto o algoritmo de Boxma et al tem complexidade $O(Mn)$, onde M é o máximo número de máquinas entre as chamadas *alocações não-dominadas*).

Em SP2.1/J/M/N, desejamos alocar (ou realocar) máquinas de maneira a otimizar a medida de desempenho, ou seja, minimizar o WIP na rede (veja SP2.1 na seção 3). Boxma et al. (1990) assumiram que um total de M máquinas homogêneas deve ser alocado às estações, e modelaram este problema de WIP ótimo (também chamado de *problema de realocação de servidores*) como:

$$\begin{array}{ll}
 \text{(SP2.1/J/M/N) minimizar} & \sum_{j=1, \dots, n} v_j L_j(m_j) \\
 \text{sujeito a:} & \sum_{j=1, \dots, n} m_j = M \\
 \text{com:} & m_j \geq \lceil \lambda_j / \mu_j \rceil, \quad m_j \text{ inteiro, } j=1, \dots, n.
 \end{array}$$

Novamente, temos um programa convexo (condições (i), (ii) e (iv) satisfeitas), porém com variáveis inteiras (condição (iii) violada). Boxma et al apresentaram um algoritmo iterativo guloso para resolver SP2.1/J/M/N, com complexidade $O(Mn)$. Apesar deste algoritmo ser similar ao algoritmo heurístico apresentado para SP1.1/J/M/N, ele é exato (i.e. tem garantia de otimalidade). O algoritmo começa com a menor alocação de máquinas possível para cada estação. Em cada iteração, ele adiciona uma máquina na estação com o máximo índice de prioridade, definido como a redução de WIP por unidade de máquina na estação. O algoritmo termina quando todas as M máquinas tiverem sido alocadas.

Para maiores detalhes destes e outros modelos e algoritmos para as redes de Jackson, veja por exemplo Bitran e Morábito (1995b) e Buzacott e Shanthikumar (1993).

5. Redes de Jackson Generalizadas (Modelos ./G/./.)

Nas redes de Jackson generalizadas, ao contrário das redes de Jackson, o número médio de *jobs* na estação j , L_j , em SP1.1 e SP2.1 depende de $\mu_1, m_1; \mu_2, m_2; \dots; \mu_n, m_n$.

5.1 Modelos ./G/./R

Nos modelos ./G/./R as variáveis de decisão correspondem à taxa de serviço μ_j , $j=1, \dots, n$, em cada estação (condição (iii) satisfeita). Seja $F_j(\mu_j)$ o custo de alocar capacidade μ_j na estação j , definida como uma função convexa não-decrescente e diferenciável de μ_j (condição (iv) satisfeita).

Bitran e Tirupati (1989a) abordaram SP1.1/G/S/R (também chamado *problema de redistribuição ótima de WIP*) e SP2.1/G/S/R (*problema de redistribuição ótima de recursos*). Eles assumiram que: (a) o scv cs_j seja independente à pequenas mudanças na capacidade μ_j (i.e. a variância e o quadrado da média do tempo de processamento na estação j variam na mesma proporção e assim, cs_j se mantém aproximadamente constante), e (b) L_j depende apenas de μ_j , ao invés de $\mu_1, \mu_2, \dots, \mu_n$ (condição (ii) satisfeita). A hipótese (b) parece se verificar a medida que o número de classes aumenta e a proporção da demanda devida por cada classe diminui (veja discussão em Bitran e Tirupati (1988), Whitt (1988), Bitran e Morábito (1995a)). Sob tal hipótese, eles mostraram que a função $L_j(\mu_j)$ é convexa em μ_j (condição (i) satisfeita), e modelaram SP1.1/G/S/R e SP2.1/G/S/R como programas convexos, dados por:

$$\begin{array}{ll}
 \text{(SP1.1/G/S/R)} & \text{minimizar} & \sum_{j=1, \dots, n} F_j(\mu_j) \\
 & \text{sujeito a:} & \sum_{j=1, \dots, n} v_j L_j(\mu_j) \leq W_T \\
 & \text{com:} & \lambda_j > \mu_j, \quad j=1, \dots, n. \\
 \\
 \text{(SP2.1/G/S/R)} & \text{minimizar} & \sum_{j=1, \dots, n} v_j L_j(\mu_j) \\
 & \text{sujeito a:} & \sum_{j=1, \dots, n} F_j(\mu_j) = F_T \\
 & \text{com:} & \mu_j > \lambda_j, \quad j=1, \dots, n.
 \end{array}$$

Experimentos computacionais com redes de $r=10$ classes de produtos (roteiros determinísticos) e com $n=13$ estações resultaram em erros nos valores dos scv $ca_j, j=1, \dots, n$, menores que 3% (sob hipótese (b)), o que sugere que os ca_j são pouco sensíveis à mudanças na capacidade. Para uma descrição detalhada dos algoritmos utilizados, veja Bitran e Tirupati (1989a) e Bitran e Morábito (1995b) (veja também Wein (1990) para uma abordagem baseada no *movimento Browniano* para o problema SP2.1/G/S/R com apenas uma classe de produtos e roteiro probabilístico).

Uma abordagem mais refinada do que em Bitran e Tirupati (1989a) foi apresentada em Bitran e Sarkar (1994), que atualiza os scv $ca_j, j=1, \dots, n$, ao longo das iterações e desta maneira, reflete a dependência de cada L_j com relação a $\mu_1, \mu_2, \dots, \mu_n$. Considere inicialmente o problema de WIP desejado; ele pode ser resolvido pelo seguinte algoritmo iterativo exato:

Algoritmo 1:

Passo 0: Dados os parâmetros iniciais $\{\lambda_k^l, ca_k^l, n_{kl}, k=1, \dots, r; l=1, \dots, n_k, \mu_j^0, cs_j, j=1, \dots, n\}$, aplique o método de decomposição (seção 2) para obter os parâmetros $\{\lambda_j, ca_j^0, \mu_j^0, cs_j, j=1, \dots, n\}$, onde ca_j^0 e μ_j^0 denotam, respectivamente, o scv inicial do intervalo de tempo entre chegadas e a capacidade inicial na estação j . Defina $W_T = \sum_{j=1, \dots, n} v_j L_j(\mu_j^0)$ e faça $p=1$.

Passo 1: Em cada iteração p , utilize os scv $ca^{p-1}_j, j=1, \dots, n$, para resolver o seguinte programa convexo nas variáveis μ_j :

$$\begin{array}{ll}
 \min & \sum_{j=1, \dots, n} F_j(\mu_j) \\
 \text{s.a.:} & \sum_{j=1, \dots, n} v_j L_j(\mu_j) = W_T \\
 \text{com:} & \mu_j > \lambda_j, \quad j=1, \dots, n.
 \end{array}$$

onde $L_j(\mu_j)$ e $F_j(\mu_j)$ são definidos conforme (1) e (2). Sejam $\mu_j^p, j=1, \dots, n$, denotando a solução ótima do problema acima usando ca^{p-1}_j .

Passo 2: Aplique o método de decomposição com os parâmetros $\{\lambda'_k, ca'_k, n_{kl}, k=1, \dots, r; l=1, \dots, n_k, \mu_j^p, cs_j, j=1, \dots, n\}$ para obter os parâmetros $\{\lambda_j, ca^p_j, \mu_j^p, cs_j, j=1, \dots, n\}$. Pare se ca^{p-1}_j e ca^p_j forem suficientemente próximos; caso contrário, faça $p=p+1$ e volte para o passo 1.

Note que, em cada iteração, o algoritmo 1 assume que o $scv\ ca_j$ seja independente a mudanças na capacidade das estações (veja passo 1). Dado que a função $L_j(\mu_j)$ é convexa em μ_j (Bitran e Tirupati, 1989a), resulta que o problema do passo 1 é convexo nas em variáveis $\mu_j, j=1, \dots, n$, podendo ser resolvido através das diversas técnicas de programação convexa (veja, p.e., Bazaraa et al., 1993). Bitran e Sarkar (1994) mostraram que o algoritmo converge para uma solução ótima sob condições usualmente encontradas na prática.

Ao aplicarmos o algoritmo 1 na rede *job-shop* da seção 2, obtemos uma solução com custo de capacidade 2278 para o nível de WIP 71089 (veja tabela 4). O algoritmo converge após duas iterações, para uma precisão de 0.001 nos valores dos ca_j . Note que os valores dos ca_j obtidos são muito próximos dos valores originais (compare as tabelas 3 e 4), apesar da variação da capacidade μ_j nas estações.

Tabela 4: Parâmetros e medidas de desempenho referentes ao algoritmo 1

| Estação j | ca_j | μ_j | ρ_j | L_j | $v_j L_j$ | F_j |
|--------------|--------|----------------|----------|---------------|------------------|-----------------|
| 1 | 0.492 | 10.390 | 0.962 | 13.114 | 1311.434 | 76.112 |
| 2 | 0.598 | 26.978 | 0.927 | 5.841 | 9415.943 | 525.354 |
| 3 | 0.760 | 3.275 | 0.916 | 6.355 | 4658.410 | 260.353 |
| 4 | 0.607 | 8.143 | 0.860 | 3.730 | 3923.519 | 64.327 |
| 5 | 0.616 | 4.720 | 0.847 | 3.039 | 2772.018 | 46.459 |
| 6 | 0.581 | 7.215 | 0.832 | 2.489 | 4189.145 | 40.719 |
| 7 | 0.617 | 5.255 | 0.761 | 2.686 | 4463.872 | 61.536 |
| 8 | 0.657 | 4.660 | 0.858 | 3.402 | 6163.572 | 194.739 |
| 9 | 0.638 | 9.270 | 0.863 | 3.465 | 5994.499 | 157.403 |
| 10 | 0.657 | 4.868 | 0.822 | 2.664 | 4262.773 | 65.111 |
| 11 | 0.672 | 5.690 | 0.879 | 4.047 | 7616.165 | 289.389 |
| 12 | 0.604 | 7.923 | 0.884 | 4.537 | 6741.802 | 279.960 |
| 13 | 0.668 | 7.330 | 0.819 | 2.946 | 9576.101 | 216.651 |
| total | | 105.717 | | 58.315 | 71089.253 | 2278.113 |

A solução produzida pelo algoritmo 1 nos indica que podemos reduzir substancialmente os recursos (de 2989 para 2278), sem aumentar o WIP (71089). Esta redução é obtida redistribuindo-se eficientemente este WIP entre as estações, por meio da variação da capacidade μ_j de cada estação (compare as tabelas 3 e 4). Note que a redistribuição de WIP não implica numa mudança de processo ou tecnologia, nem numa alteração da taxa de produção original da rede (igual a 10 produtos por unidade de tempo).

Parte do WIP das estações 3, 8, 11 e 12 é “transferido” para as demais estações (tabelas 3 e 4); os recursos aumentam um pouco nestas estações, porém são reduzidos em mais de 50% nas estações 1, 4, 6 e 10. Se todos os valores $v_j, j=1,..,n$, forem iguais, o algoritmo 1 redistribui o número médio de produtos (ao invés do WIP) da rede ao longo das estações, de maneira a minimizar os recursos na rede. Além disto, se $a_j=0, c_j=0$ e $b_j=1, j=1,..,n$, então $F_j(\mu_j)=\mu_j$, e o algoritmo 1 agora determina a mínima capacidade necessária para manter o número médio de produtos W_T na rede.

Um algoritmo iterativo exato similar ao algoritmo 1 também pode ser utilizado para resolver o problema de WIP ótimo; as mesmas suposições com respeito a convexidade de L_j e a convergência do algoritmo 1 são assumidas no algoritmo abaixo:

Algoritmo 2:

Passo 0: Dados os parâmetros iniciais $\{\lambda'_k, ca'_k, n_{kl}, k=1,..,r; l=1,..,n_k, \mu^0_j, cs_j, j=1,..,n\}$, aplique o método de decomposição (seção 2) para produzir os parâmetros $\{\lambda_j, ca^0_j, \mu^0_j, cs_j, j=1,..,n\}$, onde ca^0_j e μ^0_j denotam, respectivamente, o scv inicial do intervalo de tempo entre chegadas e a capacidade inicial na estação j . Defina $F_T = \sum_{j=1,..,n} F_j(\mu^0_j)$ e faça $p=1$.

Passo 1: Em cada iteração p , utilize os scv $ca^{p-1}_j, j=1,..,n$, para resolver o seguinte programa convexo nas variáveis μ_j :

$$\begin{aligned} & \min \sum_{j=1,..,n} v_j L_j(\mu_j) \\ & \text{s.a.: } \sum_{j=1,..,n} F_j(\mu_j) = F_T \\ & \text{com: } \mu_j > \lambda_j, j=1,..,n. \end{aligned}$$

onde $L_j(\mu_j)$ e $F_j(\mu_j)$ são definidos conforme (1) e (2). Sejam $\mu^p_j, j=1,..,n$, denotando a solução ótima do problema acima usando ca^{p-1}_j .

Passo 2: Aplique o método de decomposição com os parâmetros $\{\lambda'_k, ca'_k, n_{kl}, k=1,..,r; l=1,..,n_k, \mu^p_j, cs_j, j=1,..,n\}$ para obter os parâmetros $\{\lambda_j, ca^p_j, \mu^p_j, cs_j, j=1,..,n\}$. Pare se ca^{p-1}_j e ca^p_j forem suficientemente próximos; caso contrário, faça $p=p+1$ e volte para o passo 1.

Ao aplicarmos o algoritmo 2 na rede *job-shop* da seção 2, obtemos uma solução com nível de WIP 49254, para o custo de capacidade 2989 (veja tabela 5). O algoritmo converge após duas iterações, para uma precisão de 0.001 nos valores dos ca_j . Note que estes valores são muito próximos dos valores originais (compare as tabelas 3 e 4), apesar da variação da capacidade μ_j nas estações.

A solução produzida pelo algoritmo 2 nos indica que podemos reduzir substancialmente o WIP (de 71089 para 49254), sem alterar os recursos (2989). Esta redução é obtida redistribuindo-se eficientemente os recursos entre as estações, por meio da variação da capacidade μ_j de cada estação (compare as tabelas 3 e 5). A redistribuição dos recursos não implica numa mudança de processo ou tecnologia, nem numa alteração da taxa de produção original da rede.

Note que o algoritmo “vende” capacidade das estações 1, 4, 5, 6, 7, 9 e 10 para “comprar” capacidade para as estações 2, 3, 8, 11, 12 e 13. Embora a capacidade da rede tenha se alterado (de 115.4 para 112.2), seus custos são exatamente os mesmos (2989). Se todos os valores $v_j, j=1,..,n$, forem iguais, o algoritmo 2 redistribui os recursos disponíveis F_T de maneira a minimizar o número médio de *jobs*

na rede. Além disto, se $a_j=0$, $c_j=0$ e $b_j=1$, $j=1,\dots,n$, então $F_j(\mu_j)=\mu_j$, e o algoritmo 2 agora redistribui capacidade, ao invés de recursos de capacidade. Neste caso, dizemos que estamos *balanceando* o sistema (lembre-se que estamos assumindo que toda capacidade é homogênea e intercambiável).

Tabela 5: Parâmetros e medidas de desempenho referentes ao algoritmo 2

| Estação j | ca_j | μ_j | ρ_j | L_j | $v_j L_j$ | F_j |
|--------------|--------|----------------|----------|---------------|------------------|-----------------|
| 1 | 0.492 | 10.604 | 0.943 | 8.609 | 860.861 | 90.541 |
| 2 | 0.602 | 28.041 | 0.892 | 3.966 | 6392.554 | 623.270 |
| 3 | 0.761 | 3.421 | 0.877 | 4.279 | 3136.301 | 309.222 |
| 4 | 0.610 | 8.712 | 0.804 | 2.587 | 2721.365 | 103.173 |
| 5 | 0.621 | 5.081 | 0.787 | 2.141 | 1952.440 | 73.096 |
| 6 | 0.589 | 7.818 | 0.767 | 1.787 | 3007.797 | 79.567 |
| 7 | 0.624 | 5.828 | 0.686 | 1.874 | 3115.223 | 105.356 |
| 8 | 0.665 | 4.999 | 0.800 | 2.369 | 4292.979 | 255.741 |
| 9 | 0.643 | 9.918 | 0.807 | 2.415 | 4178.749 | 216.376 |
| 10 | 0.666 | 5.296 | 0.755 | 1.891 | 3026.341 | 105.638 |
| 11 | 0.682 | 6.050 | 0.826 | 2.795 | 5260.484 | 366.620 |
| 12 | 0.611 | 8.403 | 0.833 | 3.101 | 4607.640 | 349.405 |
| 13 | 0.678 | 7.987 | 0.751 | 2.062 | 6701.743 | 310.684 |
| Total | | 112.158 | | 39.876 | 49254.477 | 2988.689 |

5.1.1 Modelos $/G/./R$ com alternativas discretas para mudança de capacidade

Bitran e Tirupati (1989b) também analisaram $SP1.1/G/M/R$ com *alternativas discretas* para mudança de capacidade em cada estação. Ao invés de escolher (μ_j, m_j) , $j=1,\dots,n$, como variáveis de decisão, eles consideraram um número finito de alternativas para mudança de capacidade em cada estação. Considere a seguinte notação para os dados de entrada:

- n_j número total de alternativas para a estação j , $j=1,\dots,n$
- m_{ji} número de máquinas (idênticas) da estação j na alternativa i , $i=1,\dots, n_j$
- μ_{ji} taxa média de processamento de cada máquina da estação j na alternativa i
- F_{ji} custo (ou investimento) de capacidade da estação j na alternativa i .

Defina y_{ji} como uma variável de decisão 0-1 na estação j , satisfazendo $\sum_{i=1,\dots,n_j} y_{ji}=1$, tal que:

$$y_{ji} = \begin{cases} 1, & \text{se a alternativa } i \text{ for escolhida na estação } j, \\ 0, & \text{caso contrário} \end{cases}$$

A escolha $y_{ji}=1$ implica em alocar a capacidade (j_i, m_{ji}) na estação j , a um custo F_{ji} . Por conveniência e sem perda de generalidade, considere que todas as alternativas em todas as estações envolvem apenas uma máquina (i.e. $m_{ji}=1$, $j=1,\dots,n$; $i=1,\dots,n_j$). A tabela 6 ilustra 5 possíveis alternativas de capacidade para cada uma das $n=13$ estações da rede *job-shop* das tabelas 1 e 2 (i.e. μ_{ji} ; $j=1,\dots,13$; $i=1,\dots,5$); note que a primeira alternativa (coluna 1) corresponde a capacidade original da tabela 2. Os recursos F_{ji} podem ser obtidos substituindo cada μ_{ji} na expressão (2).

Tabela 6: Alternativas discretas para mudança de capacidade nas estações

| Estação j | 1 | 2 | 3 | 4 | 5 |
|--------------|----------------|------|------|------|------|
| 1 | 13.004 | 10.5 | 11.0 | 14.0 | 15.0 |
| 2 | 27.778 | 26.0 | 27.0 | 28.0 | 30.0 |
| 3 | 3.160 | 3.5 | 3.5 | 4.0 | 4.5 |
| 4 | 10.000 | 7.5 | 8.0 | 9.0 | 11.0 |
| 5 | 5.631 | 4.5 | 4.7 | 5.0 | 6.0 |
| 6 | 9.225 | 6.5 | 7.0 | 9.0 | 12.0 |
| 7 | 5.999 | 5.0 | 5.5 | 6.0 | 6.5 |
| 8 | 4.500 | 4.5 | 5.0 | 5.5 | 6.0 |
| 9 | 10.000 | 8.5 | 9.0 | 10.0 | 11.0 |
| 10 | 5.711 | 4.5 | 4.7 | 5.0 | 6.0 |
| 11 | 5.441 | 5.3 | 5.6 | 5.9 | 6.0 |
| 12 | 7.440 | 7.5 | 8.0 | 8.5 | 9.0 |
| 13 | 7.502 | 6.5 | 7.0 | 7.5 | 8.0 |
| Total | 115.391 | | | | |

Bitran e Tirupati (1989b) assumiram que o número médio de *jobs* na estação j na alternativa i , L_{ji} , dependa apenas da capacidade na estação j , ao invés da capacidade de todas as estações. Desta maneira, $L_{ji}=L_j(\lambda_j, ca_j, \mu_{ji}, cs_j)$ pode ser calculado por meio da expressão (1) para cada estação j e cada alternativa i . SP1.1/G/S/R com alternativas discretas de capacidade pode ser formulado pelo seguinte programa linear inteiro (o modelo para SP1.1/G/M/R é similar):

$$\begin{array}{ll}
 \text{(SP1.1/G/S/R) minimizar} & \sum_{j=1, \dots, n} \sum_{i=1, \dots, n_j} F_{ji} y_{ji} \\
 \text{sujeito a:} & \sum_{j=1, \dots, n} \sum_{i=1, \dots, n_j} v_j L_{ji} y_{ji} \leq W_T \\
 & \sum_{i=1, \dots, n_j} y_{ji} = 1, j=1, \dots, n \\
 \text{com:} & y_{ji} \in \{0, 1\}, j=1, \dots, n, i=1, \dots, n_j
 \end{array}$$

Bitran e Tirupati (1989b) mostraram que: (i) a solução ótima da relaxação LP de SP1.1/G/S/R (ou SP1.1/G/M/R) tem *zero* ou *duas* diferentes variáveis y_{ji} com valores fracionários e, (ii) se esta solução ótima tiver *duas* variáveis com valores fracionários, então elas correspondem à mesma estação. Baseados nestes resultados, eles propuseram um algoritmo heurístico para resolver o problema acima (para detalhes do algoritmo, veja Bitran e Tirupati (1989b) e Bitran e Morábito (1995b)).

Um refinamento desta abordagem é atualizar os scv $ca_j, j=1, \dots, n$, ao longo das iterações, conforme algoritmos 1 e 2. A seguir adaptamos o algoritmo 1 para SP1.1/G/S/R com alternativas discretas (o algoritmo 2 também pode ser adaptado para SP2.1/G/S/R de maneira similar):

Algoritmo 3 (Algoritmo 1 para alternativas discretas)

Passo 0: Dados os parâmetros iniciais $\{\lambda'_k, ca'_k, n_{kl}, k=1, \dots, r; l=1, \dots, n_k, \mu_j^0, cs_j, j=1, \dots, n\}$, aplique o método de decomposição (seção 2) para obter os parâmetros $\{\lambda_j, ca_j^0, \mu_j^0, cs_j, j=1, \dots, n\}$, onde ca_j^0 e μ_j^0 denotam respectivamente o scv inicial do intervalo entre chegadas, e a capacidade inicial da estação j (p.e., $\mu_j^0 = \mu_{j1}, j=1, \dots, n$). Defina W_T e faça $p=1$.

Passo 1: Em cada iteração p , utilize os scv $ca^{p-1}_j, j=1, \dots, n$, para computar L_{ji} em (1) para cada μ_{ji} , e resolva o seguinte problema de programação linear inteira nas variáveis y_{ji} :

$$\begin{aligned} & \min \sum_{j=1, \dots, n} \sum_{i=1, \dots, n_j} F_{ji} y_{ji} \\ \text{s.t.: } & \sum_{j=1, \dots, n} \sum_{i=1, \dots, n_j} v_j L_{ji} y_{ji} \leq W_T \\ & \sum_{i=1, \dots, n_j} y_{ji} = 1, \quad j=1, \dots, n \\ & \text{with: } y_{ji} \in \{0, 1\}, \quad j=1, \dots, n; \quad i=1, \dots, n_j. \end{aligned}$$

Seja $y^{p}_{ji}, j=1, \dots, n, i=1, \dots, n_j$, denotando a solução ótima do problema acima usando ca^{p-1}_j . Note que se $y^{p}_{ji}=1$, então a capacidade μ_{ji} é alocada na estação j . Seja $\mu^p_j, j=1, \dots, n$, a capacidade alocada na estação j .

Passo 2: Aplique o método de decomposição com os parâmetros $\{\lambda'_k, ca'_k, n_{kl}, k=1, \dots, r; l=1, \dots, n_k, \mu^p_j, cs_j, j=1, \dots, n\}$ para obter os parâmetros $\{\lambda_j, ca^p_j, \mu^p_j, cs_j, j=1, \dots, n\}$. Pare se ca^{p-1}_j e ca^p_j forem suficientemente próximos ou se p atingir um certo limite de iterações; caso contrário, faça $p=p+1$ e volte para o passo 1.

O problema do passo 1 pode ser resolvido pelas técnicas de programação linear inteira conhecidas da literatura (veja p.e. Nemhauser e Wolsey, 1988), ou pelo procedimento heurístico proposto em Bitran e Tirupati (1989b) mencionado acima, que demanda pouco esforço computacional para encontrar soluções relativamente boas. No presente artigo utilizamos um procedimento exato do tipo *branch-and-bound* para resolvê-lo.

Ao aplicarmos o algoritmo 3 na rede *job-shop* (com as 5 alternativas da tabela 6), obtemos a solução da tabela 7 com custo de capacidade 2359 e nível de WIP 70928. O algoritmo converge após três iterações para uma precisão de 0.001 nos valores dos ca_j e um desvio relativo máximo de 0.2% do valor da solução ótima. Note que ele escolheu diferentes alternativas para as estações da rede (veja segunda coluna da tabela 7).

Tabela 7: Parâmetros e medidas de desempenho referentes ao algoritmo 3

| Est. j | Alt. i | ca_{ji} | μ_{ji} | P_{ji} | L_{ji} | $v_j L_{ji}$ | F_{ji} |
|--------------|--------|-----------|----------------|----------|---------------|------------------|-----------------|
| 1 | 2 | 0.492 | 10.500 | 0.952 | 10.315 | 1031.498 | 83.475 |
| 2 | 3 | 0.598 | 27.000 | 0.926 | 5.782 | 9321.135 | 527.310 |
| 3 | 2 | 0.760 | 3.500 | 0.857 | 3.652 | 2676.847 | 337.032 |
| 4 | 3 | 0.610 | 8.000 | 0.875 | 4.229 | 4448.631 | 55.280 |
| 5 | 4 | 0.619 | 5.000 | 0.800 | 2.285 | 2084.087 | 66.850 |
| 6 | 3 | 0.584 | 7.000 | 0.857 | 2.954 | 4971.318 | 28.210 |
| 7 | 3 | 0.622 | 5.500 | 0.727 | 2.266 | 3765.365 | 79.392 |
| 8 | 1 | 0.660 | 4.500 | 0.889 | 4.386 | 7947.184 | 168.120 |
| 9 | 3 | 0.637 | 9.000 | 0.889 | 4.300 | 7438.939 | 134.640 |
| 10 | 4 | 0.654 | 5.000 | 0.800 | 2.348 | 3756.943 | 77.000 |
| 11 | 3 | 0.671 | 5.600 | 0.893 | 4.597 | 8651.750 | 271.197 |
| 12 | 3 | 0.606 | 8.000 | 0.875 | 4.216 | 6265.355 | 290.720 |
| 13 | 4 | 0.666 | 7.500 | 0.800 | 2.637 | 8568.902 | 239.850 |
| total | | | 106.100 | | 53.967 | 70927.955 | 2359.077 |

Os valores dos ca_j obtidos pelo algoritmo 3 são muito próximos dos seus valores originais (compare as tabelas 3, 4 e 7). Note que o WIP obtido (70928) é menor do que W_T (71089), ao invés de exatamente igual a W_T conforme solução produzida pelo algoritmo 1 (verifique que o problema do passo 1 no algoritmo 3 tem uma desigualdade, diferente do problema do algoritmo 1). Note também que, dado que $\mu_{ji} > \lambda_j$ para todo i e j , segue que a necessidade de recursos produzida pelo algoritmo 1 (igual a 2278) resulta num limitante inferior para a necessidade de recursos produzida pelo algoritmo 3 (2359).

Nossas primeiras experiências computacionais com o algoritmo 3 sugerem que ele converge sob tolerâncias razoáveis para a precisão dos valores finais de ca_j ; a prova de sua convergência é um tópico para pesquisa futura.

Os algoritmos 1, 2 e 3 apresentados nesta seção foram codificados na linguagem de modelagem *GAMS* (*General Algebraic Mathematical System*, versão 2.25) (Brooke et al., 1992). Para resolver em cada iteração os programas linear e convexo (passo 1) dos algoritmos 1 e 2 utilizamos o *solver GAMS/MINOS*. Para resolver em cada iteração os sistemas lineares (passos 0 e 2) e o programa linear inteiro (passo 1) do algoritmo 3 utilizamos o *solver GAMS/OSL*. As soluções apresentadas nas tabelas 4, 5 e 7 foram obtidas em poucos minutos (incluindo a geração de relatórios detalhados) utilizando um microcomputador PC-AT-486DX2. O desempenho computacional ainda pode ser melhorado com a implementação de rotinas matemáticas que explorem as características particulares dos programas convexo e linear inteiro envolvidos.

5.2 Modelos /G/.N

Baseados nos resultados de Bitran e Tirupati (1989a) para SP1.1/G/S/R e SP2.1/G/S/R (seção 5.1), Van Vliet e Rinnooy Kan (1991) assumiram que L_j depende apenas de m_j , ao invés de m_1, m_2, \dots, m_n (condição (ii) satisfeita). Desta maneira, pode ser mostrado que $L_j(m_j)$ é uma função convexa de m_j (condição (i) satisfeita).

Ao assumir $F_j(m_j)$ como uma função convexa de m_j (condição (iv) satisfeita), SP1.1/G/M/N é formulado como um programa convexo, porém com variáveis inteiras (condição (iii) violada), exatamente como SP1.1/J/M/N descrito na seção 4.2. Para resolvê-lo, Van Vliet e Rinnooy Kan (1991) propuseram um algoritmo iterativo guloso (heurístico), similar ao algoritmo proposto por Boxma et al. (1990) para SP1.1/J/M/N (veja seção 4.2). Van Vliet e Rinnooy Kan também forneceram limitantes para o erro da solução heurística em relação a ótima. Experimentos computacionais com uma rede de 10 classes de produtos e 13 estações resultaram em erros de 5% a 7%, o que mostra que a hipótese de convexidade parece ser razoável.

Similarmente, SP2.1/G/M/N também é formulado como um programa convexo (condições (i), (ii) e (iv) satisfeitas), porém com variáveis inteiras (condição (iii) violada), exatamente como SP2.1/J/M/N descrito na seção 4.2. Para resolvê-lo, Van Vliet e Rinnooy Kan (1991) propuseram um algoritmo iterativo guloso, similar ao algoritmo proposto por Boxma et al. (1990) para SP2.1/J/M/N (veja seção 4.2). Este algoritmo termina após $O(Mn)$ passos com a redistribuição ótima das M máquinas ao longo das n estações (obviamente sob a hipótese de que $L_j(m_j)$ seja uma função convexa de m_j). Experimentos computacionais indicaram que a solução ótima produzida pelo algoritmo para o suposto problema convexo pode ser utilizada como uma boa aproximação para o problema original.

Similarmente à seção 5.1, abordagens mais refinadas, baseadas na atualização dos scv_{ca_j} em cada iteração, também podem ser aqui utilizadas, conforme algoritmos 1, 2 e 3. A decisão de utilizá-las ou não deve levar em conta o *tradeoff* entre o benefício da qualidade das soluções produzidas e o esforço computacional adicional necessário para obtê-las.

6. Conclusões

Neste artigo examinamos modelos de otimização baseados na teoria de rede de filas para problemas de WIP desejado (SP1.1) e WIP ótimo (SP2.1). Nosso enfoque foi no projeto e planejamento de sistemas *job-shops*. Exemplos de decisões envolvidas são: Qual o mínimo investimento em capacidade necessário para o sistema atingir um desempenho desejado? Como melhorar o desempenho atual do sistema com os recursos disponíveis?

Algumas abordagens conhecidas da literatura para redes de Jackson e redes de Jackson generalizadas foram discutidas. Em particular, três algoritmos para resolver SP1.1 e SP2.1 foram examinados em detalhes. Para ilustrar a aplicação da metodologia, alguns resultados computacionais de um exemplo de uma rede *job-shop* com 10 classes de produtos e 13 estações foram apresentados. Estes algoritmos também podem ser utilizados para gerar curvas de *tradeoff* entre o desempenho da rede e os recursos disponíveis, conforme Bitran e Morábito (1995c, 1995d).

Agradecimentos

Os autores gostariam de agradecer os dois *referees* pelos seus úteis comentários e sugestões. Esta pesquisa contou com o apoio da FAPESP através da concessão de uma bolsa de pós-doutorado, processo #93/0891-7.

Referências bibliográficas

- BAZARAA, M. S., H. D. Sherali e C. M. Shetty (1993). *Nonlinear programming: Theory and algorithms*, 2nd.ed., Wiley, NY.
- BITRAN, G. R. e S. Dasu (1992). A review of open queueing network models of manufacturing systems. *Queueing Systems* 12, 95-134.
- BITRAN, G. R. e R. Morábito (1994). Open queueing networks: Optimization and performance evaluation models for discrete manufacturing systems. WP#3743-94, Sloan School of Management, MIT, 45p (aceito para publicação no *Production and Operations Management*).
- BITRAN, G. R. e R. Morábito (1995a). Um exame dos modelos de redes de filas abertas aplicados a sistemas de manufatura discretos---Parte I. *Gestão & Produção* 2(2), 192-219.
- BITRAN, G. R. e R. Morábito (1995b). Um exame dos modelos de redes de filas abertas aplicados a sistemas de manufatura discretos---Parte II. *Gestão & Produção* 2(3), 297-320.

- BITRAN, G. R. e R. Morábito (1995c). Manufacturing systems design: Tradeoff curve analysis. WP#3805-95, Sloan School of Management, MIT, 33p (submetido para o *Production and Operations Management*).
- BITRAN, G. R. e R. Morábito (1995d). An overview of tradeoff curve analysis in the design of manufacturing systems. WP#3806-95, Sloan School of Management, MIT, 28p (aceito para publicação na *Gestão & Produção*).
- BITRAN, G. R. e D. Sarkar (1994). Targeting problems in manufacturing queueing networks - An iterative scheme and convergence. *European Journal of Operational Research* 76, 501-510.
- BITRAN, G. R. e D. Tirupati (1988). Multiproduct queueing networks with deterministic routing: Decomposition approach and the notion of interference. *Mgmt. Sci.* 34(1), 75-100.
- BITRAN, G. R. e D. Tirupati (1989a). Tradeoff curves, targeting and balancing in manufacturing queueing networks. *Operations Research* 37, 547-564.
- BITRAN, G. R. e D. Tirupati (1989b). Capacity planning in manufacturing networks with discrete options. *Annals of Operations Research* 17, 119-136.
- BITRAN, G. R. e D. Tirupati (1991). Approximations for network of queues with overtime. *Mgmt. Sci.* 37(3), 282-300.
- BOXMA, O. J., A. Rinnooy Kan e M. Van Vliet (1990). Machine allocation problems in manufacturing networks. *European Journal of Operational Research* 45, 47-54.
- BRAMSON, M., “Instability of FIFO queueing networks”. *Armais of Applied Probability* 4(2), 414-431, 1994.
- BROOKE, A., D. Kendrick e A. Meeraus, *Release 2.25 GAMS - A user 's guide*. The Scientific Press, San Francisco, 1992.
- BUZACOTT, J. A. e J. G. Shanthikumar (1993). *Stochastic models of manufacturing systems*, Prentice-Hall, Englewood Cliffs, NJ.
- FRENK, H.; M. Labbe, M. Van Vliet, S. Zhang (1994). Improved algorithms for machine allocation in manufacturing systems. *Operations Research* 42, 523-530.
- HAREL, A. e P. Zipkin (1987). Strong convexity results for queueing systems. *Operations Research* 35, 405-418.
- KLEINROCK, L. (1964). *Communication nets: stochastic message flow and delay*, Dover Publ., NY.
- KLEINROCK, L. (1976). *Queueing systems*, vol 2: Computer applications, Wiley, NY.
- KOUVELIS, P. e D. Tirupati (1991). Approximate performance modeling and decision making for manufacturing systems: A queueing network optimization framework. *Journal of Intelligent Manufacturing* 2, 107-134.
- NEMHAUSER, G. L e L. A. Wolsey (1988). *Integer and combinatorial optimization*, Wiley, NY, 763p.

- SEGAL, M. e W. Whitt (1989). A queueing network analyzer for manufacturing. *Teletraffic Science for New Cost-Effective Systems, Networks and Services, ITC-12*, M. Bonatti (ed.), Elsevier, North-Holland, Amsterdam, 1146-1152.
- SUNDARRAJ, R. P., P. S. Sundararaghavan, D. R. Fox (1994). Optimal server acquisition in open queueing networks. *J. Oper. Res. Soc.* 45(5), 549-558.
- SURI, R., J. L. Sanders, M. Kamath (1993). Performance evaluation of production networks. *Handbooks in OR/MS*, S. C. Graves (ed.), vol 4, Elsevier, North-Holland, Amsterdam.
- VAN VLIET, M. e A. Rinnooy Kan (1991). Machine allocation algorithms for *job shop* manufacturing. *Journal of Intelligent Manufacturing* 2, 83-94.
- WEIN, L. M. (1990). Capacity allocation in generalized Jackson networks. *Oper. Res. Lett.* 15, 215-242.
- WHITT, W. (1983). The queueing network analyzer. *Bell Syst. Tech. J.* 62, 2779-2815.
- WHITT, W. (1988). A light-traffic approximation for single-class departures from multi-class queues. *Mgmt. Sci.* 34(11), 1333-1346.

Republicado de Pesquisa Operacional, v.15, n. 1 e 2, pp.1-22, 1995